









	Profil		Nr warstwy	Głębokość [m p.p.t.]	Poziom. wody [m p.p.t.]	Miąższość [m]	Opis warstw	Symbol gruntu	Wilgotność [%]	Stan gruntu	Stopień plastyczności lub zagęszczenia $I_p^{(n)}$ lub $I_o^{(n)}$	Gęstość objętościowa $\gamma^{(n)}$ [t/m <sup>3</sup> ]	Kąt tarcia wewnętrzznego $\phi^{(n)}$ [°]	Spójność $c_u^{(n)}$ [kPa]	Moduł pierwotnego odkształcenia gruntu $E_o^{(n)}$ [MPa]	UWAGI
	Stratygraficzny	Litologiczny														
0	1	2	3	4	5	6	7	8	9	10	11	12	13	14	15	16
0,5	Q		I	0,0 - 1,0		1,0	Glina, glina pylasta, barwy brązowej	G, Gp	w	pl	0,25	2,0	14,0	15,0	18,4	
1																
1,5									w			1,90				
2																
2,5	Q		II	1,0 - 4,0	 2,5	>3,0	Żwir, pospółka, barwy beżowej z otoczkami	Ż, Po + KO		sz	0,5		38,5	-	80,0	
3																
3,5									m			2,05				
4																
PROFIL GEOTECHNICZNY OTWORU NR 3											Głębokość otworu: 4 m		Rzędna otworu: 314,5 m n.p.m.			

	Profil		Nr warstwy	Głębokość [m p.p.t.]	Poziom. wody [m p.p.t.]	Miąższość [m]	Opis warstw	Symbol gruntu	Wilgotność [%]	Stan gruntu	Stopień plastyczności lub zagęszczenia $I_p^{(n)}$ lub $I_o^{(n)}$	Gęstość objętościowa $\gamma^{(n)}$ [t/m <sup>3</sup> ]	Kąt tarcia wewnętrzznego $\phi^{(n)}$ [°]	Spójność $c_u^{(n)}$ [kPa]	Moduł pierwotnego odkształcenia gruntu $E_o^{(n)}$ [MPa]	UWAGI
	Stratygraficzny	Litologiczny														
0	1	2	3	4	5	6	7	8	9	10	11	12	13	14	15	16
0,5	Q		I	0,0 - 1,2		1,2	Glina, glina piaszczysta, barwy brązowej z domieszką żwiru	G, Gp + Ż	w	pl	0,25	2,0	14,0	15,0	18,4	
1																
1,5									w			1,90				
2																
2,5	Q		II	1,2 - 4,0	 2,5	>2,8	Żwir, pospółka, barwy beżowej z otoczkami	Ż, Po + KO		sz	0,5		38,5	-	80,0	
3																
3,5									m			2,05				
4																
PROFIL GEOTECHNICZNY OTWORU NR 4											Głębokość otworu: 4 m		Rzędna otworu: 314,5 m n.p.m.		ZAŁ. 2.2	